



Министерство науки и высшего образования Российской Федерации
Федеральное государственное бюджетное образовательное учреждение
высшего образования
«Московский государственный технический университет
имени Н. Э. Баумана
(национальный исследовательский университет)»
(МГТУ им. Н. Э. Баумана)

ФАКУЛЬТЕТ «Информатика и системы управления»

КАФЕДРА «Программное обеспечение ЭВМ и информационные технологии»

ОТЧЕТ

по лабораторной работе № 6
по курсу «Анализ алгоритмов»
на тему: «Задача коммивояжера»

Студент ИУ7-54Б
(Группа)

(Подпись, дата)

Булдаков М.
(И. О. Фамилия)

Преподаватель

(Подпись, дата)

Волкова Л. Л.
(И. О. Фамилия)

2023 г.

СОДЕРЖАНИЕ

ВВЕДЕНИЕ	3
1 Аналитический раздел	4
1.1 Описание задачи	4
1.2 Алгоритмы решения задачи	4
2 Конструкторский раздел	7
2.1 Требования к программному обеспечению	7
2.2 Описание используемых типов данных	7
2.3 Разработка алгоритмов	8
2.4 Оценка трудоемкости алгоритмов	13
2.4.1 Трудоемкость алгоритма полного перебора	13
2.4.2 Трудоемкость муравьиного алгоритма	14
3 Технологический раздел	15
3.1 Средства реализации	15
3.2 Сведения о модулях программы	15
3.3 Реализация алгоритмов	15
4 Исследовательский раздел	22
4.1 Демонстрация работы программы	22
4.2 Технические характеристики	24
4.3 Время выполнения реализаций алгоритмов	24
4.4 Параметризация муравьиного алгоритма	27
4.4.1 Класс данных	27
ЗАКЛЮЧЕНИЕ	30
СПИСОК ИСПОЛЬЗОВАННЫХ ИСТОЧНИКОВ	31
ПРИЛОЖЕНИЕ А	32

ВВЕДЕНИЕ

Задача коммивояжера является одной из классических задач комбинаторной оптимизации, привлекающей внимание исследователей и практиков в области логистики, транспорта и информационных технологий. В контексте логистики, эта задача применяется для оптимизации маршрутов доставки товаров и грузов, что позволяет сократить затраты на перевозку, уменьшить время доставки и улучшить эффективность работы логистических компаний [1].

Цель данной лабораторной работы — рассмотреть алгоритмы решения задачи коммивояжера в случае построения карты перемещений для воздухоплавателей.

Для достижения поставленной цели необходимо выполнить следующие задачи:

- описать алгоритмы решения задачи коммивояжера;
- спроектировать программное обеспечение, реализующее алгоритмы решения задачи коммивояжера;
- выбрать инструменты для реализации и замера процессорного времени выполнения реализаций решения задачи;
- проанализировать затраты реализаций алгоритмов по времени.

1 Аналитический раздел

В данном разделе будут описаны алгоритмы решения задачи коммивояжера.

1.1 Описание задачи

Задача коммивояжера — одна из самых известных задач комбинаторной оптимизации, заключающаяся в поиске наиболее выгодного маршрута, проходящего через указанные города и возвращающегося в начальный пункт.

В общем случае задача формулируется следующим образом: имеется N городов, для каждой пары которых известно расстояние между ними. Требуется найти такой маршрут, проходящий через каждый город по одному разу (и возвращающийся в исходный город), при этом сумма всех расстояний на этом маршруте должна быть наименьшей из возможных [1].

В данной работе будет рассматриваться вариант задачи с незамкнутым маршрутом, т. е. без одного последнего перехода. Стоимость пути между городами будет отличаться в различных направлениях, поэтому граф будет ориентированным.

1.2 Алгоритмы решения задачи

Алгоритм полного перебора

Задача может быть решена перебором всех вариантов объезда и выбором оптимального. Очевидно, что при полном переборе будет найден самый кратчайший маршрут, но при этом для перебора необходимо будет выполнить порядка $O(N!)$ операций, где N — количество городов, что является тяжелой задачей даже для современных ЭВМ при N порядка сотни.

Муравьиный алгоритм (без элитных муравьев)

Муравьиный алгоритм — алгоритм решения задачи коммивояжера, основанный на принципе поведения колонии муравьев [2].

Муравьи действуют, руководствуясь органами чувств. Каждый муравей оставляет на своем пути феромоны, чтобы другие могли ориентироваться. При большом количестве муравьев наибольшее количество феромона остается на наиболее посещаемом пути, посещаемость же может быть связана с длинами ребер. Муравьи используют не прямой обмен информацией через окружающую

среду посредством феромона.

Основная идея заключается в том, что выделяются две фазы: день и ночь. В фазу дня каждый муравей k строит один маршрут, вечером обновляется лучшая траектория. В фазу ночи обновляется матрица феромона.

Каждый муравей имеет 3 способности:

- 1) Зрение — муравей k , стоя в городе i , может оценить привлекательность ребра $i - j$;
- 2) Обоняние — муравей чувствует концентрацию феромона $\tau_{ij}(t)$ на ребре $i-j$ в текущий день t ;
- 3) Память — муравей запоминает список, посещенных за текущий день t городов — $J_k(t)$.

Привлекательность ребра $i-j$ оценивается по формуле (1.1).

$$\eta_{ij} = \frac{1}{D_{ij}}, \quad (1.1)$$

где D_{ij} — метка ребра, D — матрица смежности.

Стоя в городе i , муравей k выбирает следующий город на основе вероятностного правила (1.2).

$$p_{ij,k} = \begin{cases} 0, j \in J_k, \\ \frac{\eta_{ij}^\alpha \cdot \tau_{ij}^\beta(t)}{\sum_{q \in J_k} \eta_{iq}^\alpha \cdot \tau_{iq}^\beta(t)}, \text{ иначе,} \end{cases} \quad (1.2)$$

где α — коэффициент жадности, β — коэффициент стадности, причем $\alpha + \beta = 1$.

После завершения движения всех муравьев (ночью, перед наступлением следующего дня), феромон обновляется по формуле (1.3).

$$\tau_{ij}(t+1) = \tau_{ij}(t) \cdot (1 - \rho) + \Delta\tau_{ij}(t), \quad (1.3)$$

где $\rho \in [0, 1]$ — коэффициент испарения феромона.

$$\Delta\tau_{ij}(t) = \sum_{k=1}^N \Delta\tau_{ij,k}(t). \quad (1.4)$$

$$\Delta\tau_{ij}^k(t) = \begin{cases} 0, \text{ муравей } k \text{ в день } t \text{ не ходил по ребру } i-j, \\ Q/L_k, \text{ иначе,} \end{cases} \quad (1.5)$$

где Q — квота феромона одного муравья на день, Q выбирается соразмерной длине лучшего маршрута в графе.

Чтобы значение феромона не обнулилось и не повлекло обнуление вероятности перехода по ребру, после расчета значения $\tau_{ij}(t+1)$ необходимо выполнять проверку матрицы феромона и все значения, которые меньше заданного порога, заменить на порог.

В данном алгоритме отсутствует полный перебор, что означает меньшую трудоемкость, чем для алгоритма полного перебора, но при этом лучшее решение не гарантируется.

Вывод

В данном разделе были описаны алгоритм полного перебора и муравьиный алгоритм для решения задачи коммивояжера.

2 Конструкторский раздел

В этом разделе будет представлено описание используемых типов данных, а также схематические изображения алгоритмов решения задачи коммивояжера.

2.1 Требования к программному обеспечению

Программа должна поддерживать два режима работы: режим массового замера времени и режим решения задачи коммивояжера.

Режим массового замера времени должен обладать следующей функциональностью:

- генерировать графы различного размера для проведения замеров;
- осуществлять массовый замер, используя сгенерированные данные;
- результаты массового замера должны быть представлены в виде таблицы и графика.

К режиму решения задачи коммивояжера выдвигается следующий ряд требований:

- возможность вводить матрицы смежности графов;
- наличие интерфейса для выбора действий;
- на выходе программы, стоимость и маршрут кратчайшей длины.

2.2 Описание используемых типов данных

При реализации алгоритмов будут использованы следующие структуры и типы данных:

- граф — множество вершин и ребер между ними, задается с помощью матрицы смежности;
- матрица — двумерный массив чисел.

2.3 Разработка алгоритмов

На рисунке 2.1 представлена схема алгоритма решения задачи коммивояжера полным перебором. На рисунке 2.2 представлена схема муравьиного алгоритма. На рисунках 2.3 и 2.4 изображены схемы алгоритмов вспомогательных подпрограмм.

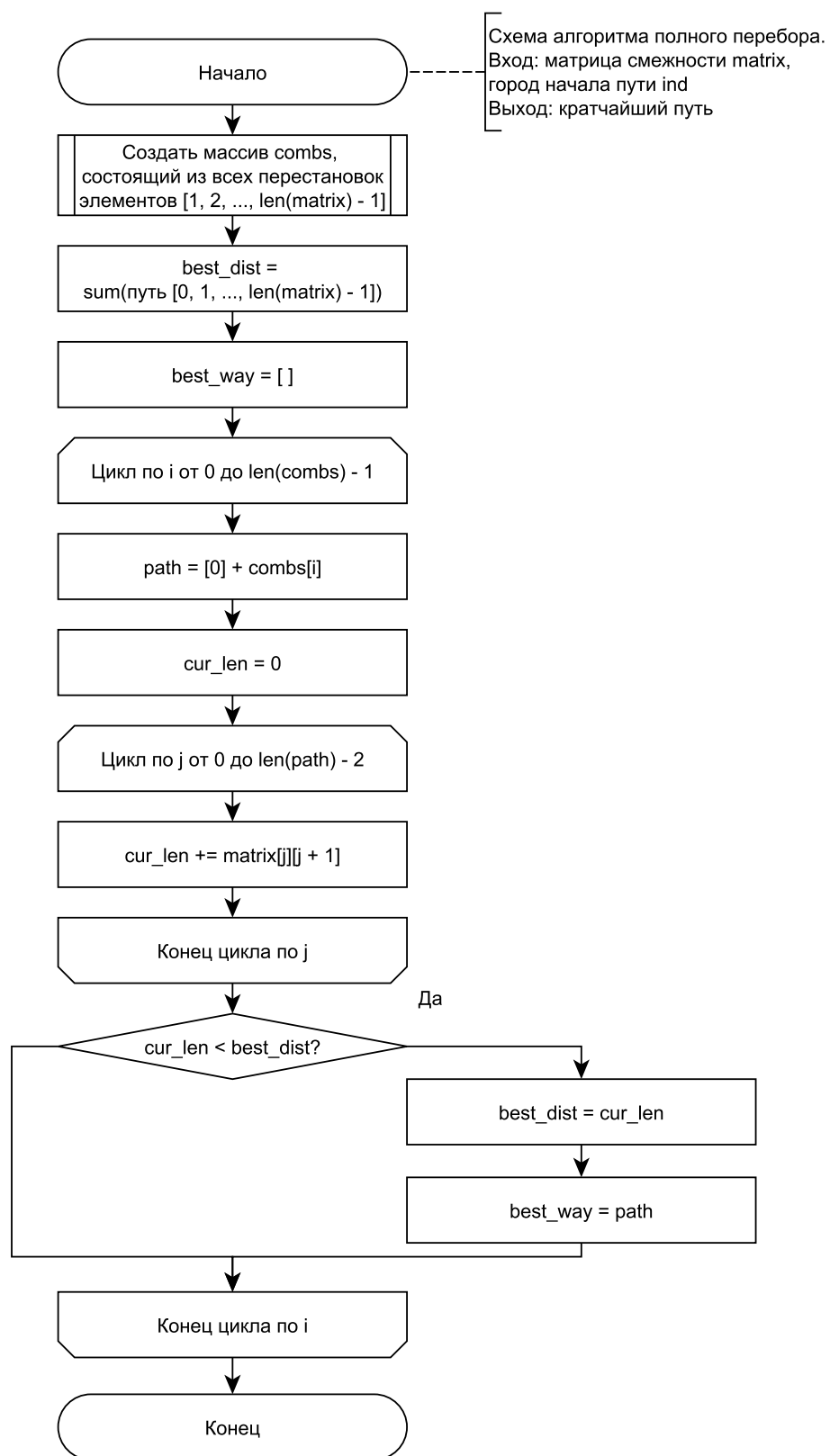


Рисунок 2.1 – Схема алгоритма решения задачи коммивояжера полным перебором

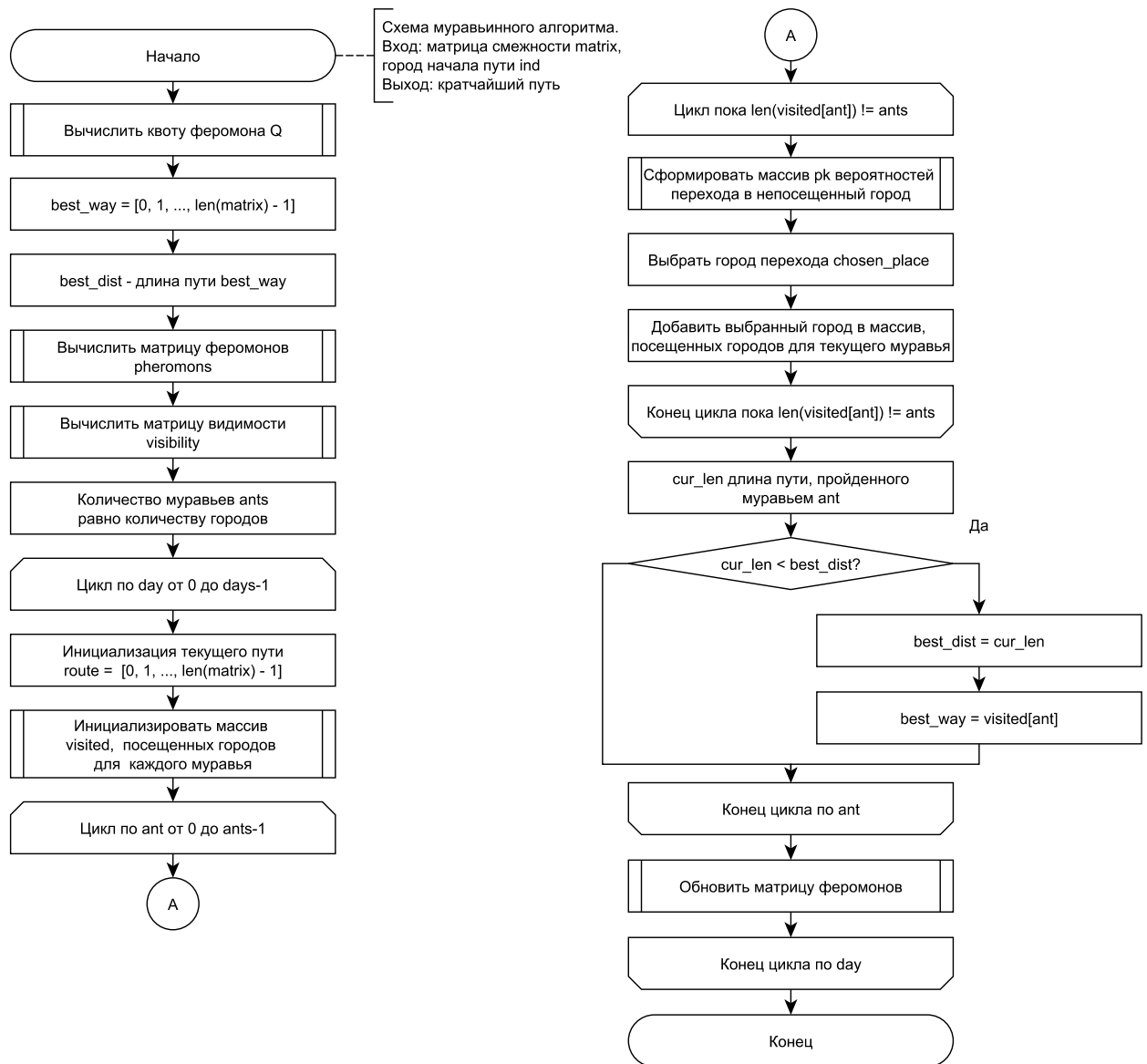


Рисунок 2.2 – Схема муравьиного алгоритма

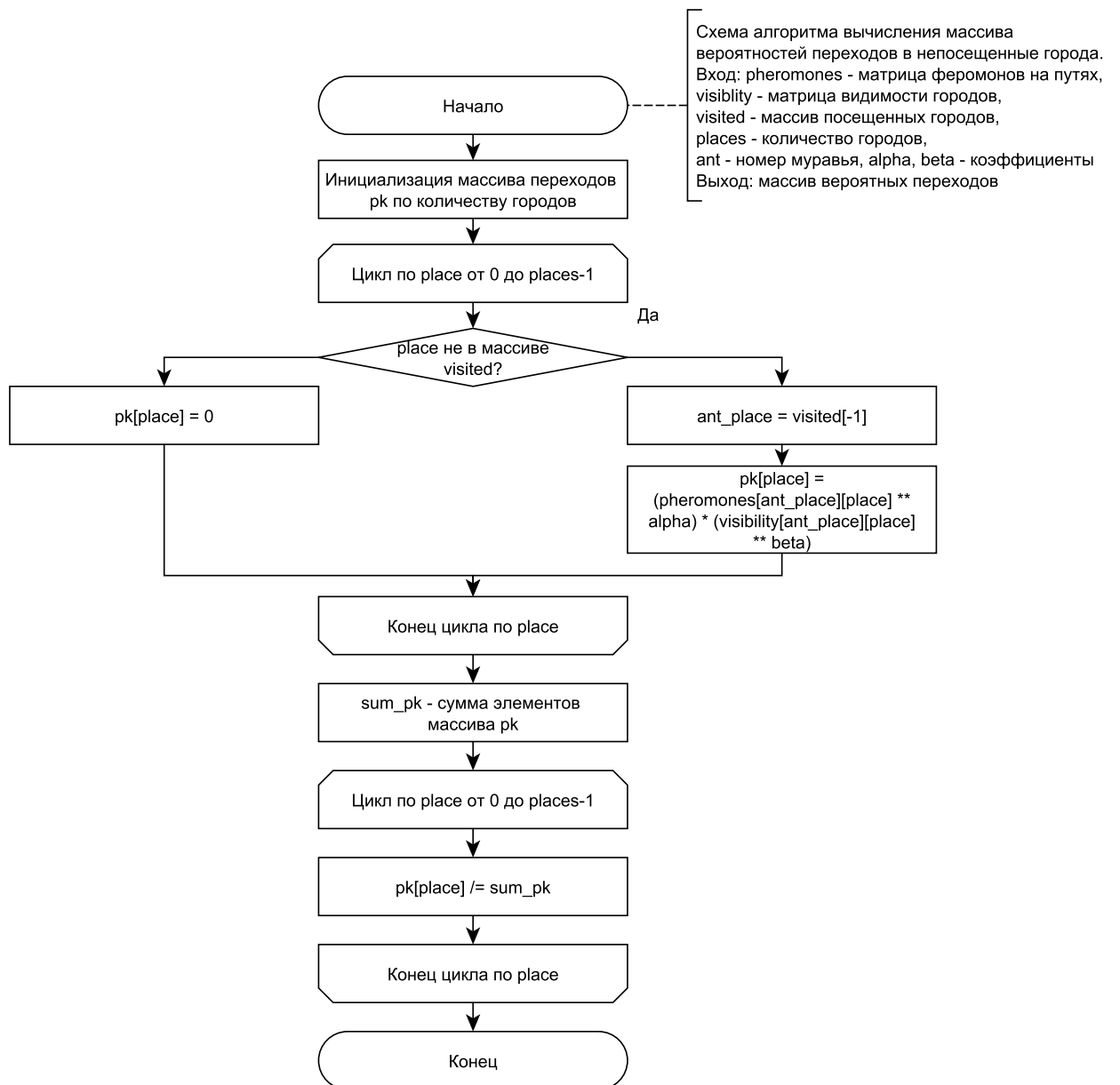


Рисунок 2.3 – Схема алгоритма вычисления массива вероятностей переходов в непосещенные города

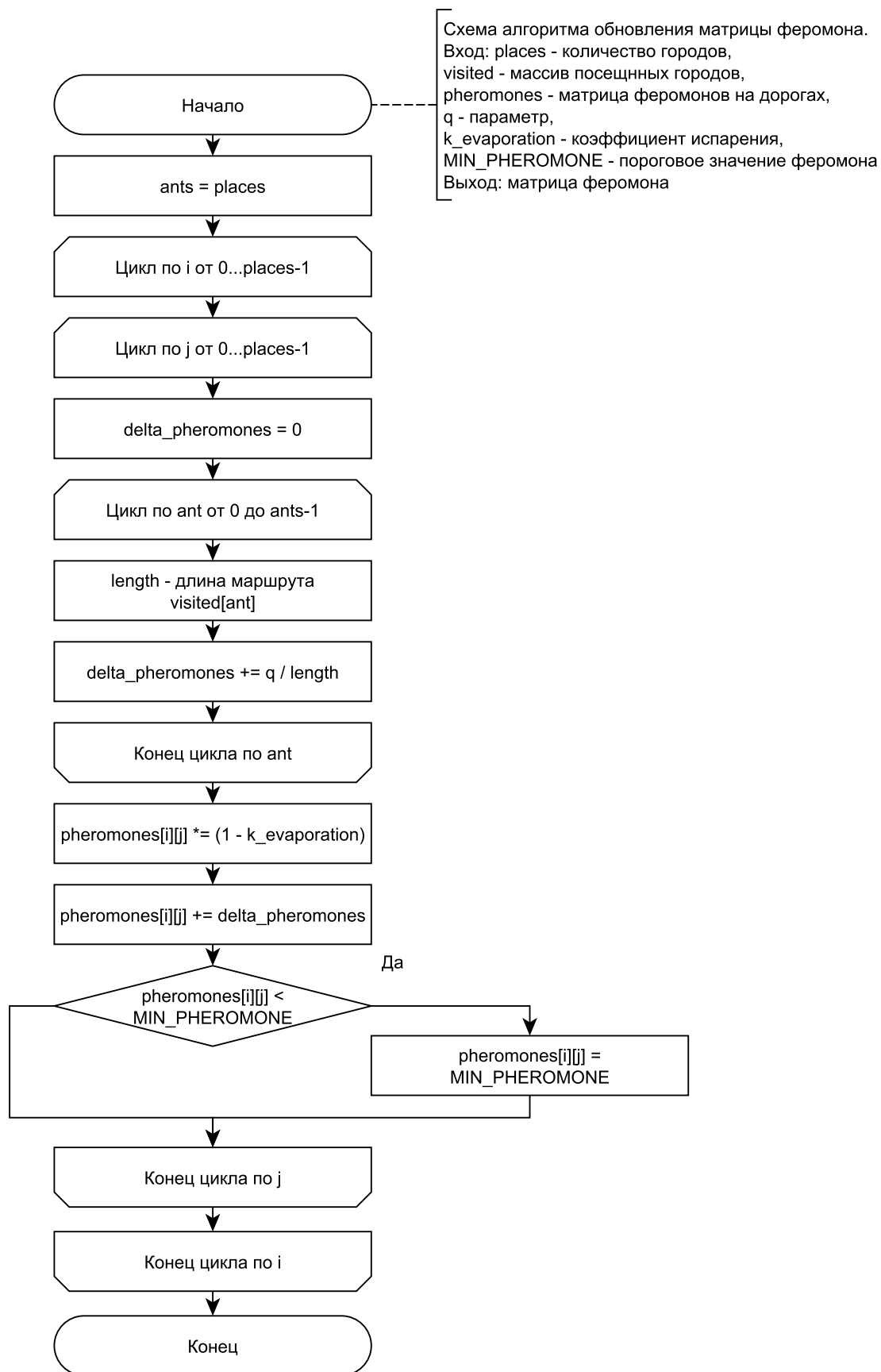


Рисунок 2.4 – Схема алгоритма обновления матрицы феромона

2.4 Оценка трудоемкости алгоритмов

Модель для оценки трудоемкости алгоритмов состоит из шести пунктов:

- 1) $+, -, =, + =, - =, ==, ||, \&\&, <, >, <=, >=, <<, >>, []$ — считается, что эти операции обладают трудоемкостью в 1 единицу;
- 2) $*, /, * =, / =, \%, **$ — считается, что эти операции обладают трудоемкостью в 2 единицы;
- 3) трудоемкость условного перехода принимается за 0;
- 4) трудоемкость условного оператора рассчитывается по формуле (2.1),

$$f_{if} = f_{\text{условия}} + \begin{cases} \min(f_1, f_2), & \text{лучший случай} \\ \max(f_1, f_2), & \text{худший случай} \end{cases}, \quad (2.1)$$

где f_1 — трудоемкость блока, который вычисляется при выполнении условия, а f_2 — трудоемкость блока, который вычисляется при невыполнении условия;

- 5) трудоемкость цикла рассчитывается по формуле (2.2),

$$f_{for} = f_{\text{инициализация}} + f_{\text{сравнения}} + M_{\text{итераций}} \cdot (f_{\text{тело}} + f_{\text{инкремент}} + f_{\text{сравнения}}); \quad (2.2)$$

- 6) вызов подпрограмм и передача параметров принимается за 0.

2.4.1 Трудоемкость алгоритма полного перебора

Добавление в конец списка считается операцией стоимостью в 1. Тогда трудоемкость алгоритма составления массива перестановок из n элементов оценивается по формуле (2.3).

$$f_{perm} = 9 \cdot n! + 3 \quad (2.3)$$

Трудоемкость расчета пути длины n считается как $6n - 4$. Тогда трудоемкость алгоритма полного перебора в худшем случае считается по формуле

(2.4).

$$f_{brut} = (6n + 11)(n - 1)! + 6n + 1 = O(n!) \quad (2.4)$$

2.4.2 Трудоемкость муравьиного алгоритма

Трудоемкость рассчитывается для n городов и T дней. Трудоемкость алгоритма вычисления массива вероятностей переходов в города, рассчитывается по формуле (2.5).

$$f_{pk} = 13n + 4 \quad (2.5)$$

Трудоемкость алгоритма обновления матрицы феромона, рассчитывается по формуле (2.6).

$$f_{update} = 6n^4 + n^3 + 19n^2 + 4n + 3 \quad (2.6)$$

Тогда трудоемкость муравьиного алгоритма рассчитывается по формуле (2.7).

$$f_{ant} = T(6n^4 + 15n^3 + 25n^2 + 15n + 7) + 11n^2 + 14n + 7 = O(Tn^4) \quad (2.7)$$

Вывод

На основе теоретических данных, полученных из аналитического раздела были построены схемы требуемых алгоритмов. Была введена модель оценки трудоемкости алгоритма, были рассчитаны трудоемкости алгоритмов в соответствии с этой моделью.

В результате теоретической оценки трудоемкостей алгоритмов выяснилось, что лучшей асимптотической оценкой обладает муравьиный алгоритм $O(Tn^4)$, где T — количество дней жизни колонии, а n — количество городов. Алгоритм полного перебора обладает асимптотической оценкой $O(n!)$.

3 Технологический раздел

В данном разделе будут приведены требования к программному обеспечению, средства реализации, листинг кода.

3.1 Средства реализации

Для реализации данной работы был выбран язык *Python* [3]. Данный выбор обусловлен следующим:

- язык поддерживает все структуры данных, которые выбраны в результате проектирования;
- язык позволяет реализовать все алгоритмы, выбранные в результате проектирования;
- язык позволяет замерять процессорное время с помощью модуля *time*.

Процессорное время было замерено с помощью функции *process_time()* из модуля *time* [4].

3.2 Сведения о модулях программы

Данная программа разбита на следующие модули:

- *main.py* — файл, содержащий функцию *main*;
- *algorithms.py* — файл, содержащий код реализаций алгоритмов решения задачи коммивояжера;
- *utils.py* — содержит вспомогательные функции работы с графами;
- *compare_time.py* — файл, в котором содержатся функции для замера и вывода времени выполнения реализаций алгоритмов.

3.3 Реализация алгоритмов

В листинге 3.1 приведена реализация алгоритма решения задачи полным перебором. В листинге 3.2 приведена реализация муравьиного алгоритма. В листингах 3.3 – 3.5 приведены реализации вспомогательных подпрограмм.

Листинг 3.1 – Функция решения задачи коммивояжера полным перебором

```
1 def brut(matrix, start_city):
2     size = len(matrix)
3     nodes = list(range(0, size))
4     nodes.pop(start_city)
5
6     min_dist = float("inf")
7     best_way = []
8
9     for comb in it.permutations(nodes):
10         comb = [start_city] + list(comb)
11         cur_dist = 0
12         for i in range(len(comb) - 1):
13             cur_dist += matrix[comb[i]][comb[i + 1]]
14
15         if cur_dist < min_dist:
16             min_dist = cur_dist
17             best_way = comb
18
19     return min_dist, best_way
```


Листинг 3.2 – Функция решения задачи коммивояжера муравьиным алгоритмом

```
1 def ants(matrix, alpha, beta, k_evaporation, days, start_city):
2     places = len(matrix)
3
4     q = get_q(matrix)
5     best_way = []
6     min_dist = float("inf")
7     pheromones = [[1 for i in range(places)] for j in
8         range(places)]
9     visibility = [
10         [(1.0 / matrix[i][j] if (i != j) else 0) for j in
11             range(len(matrix[i]))]
12         for i in range(len(matrix))
13     ]
14
15     ants = places
16     for day in range(days):
17         route = np.arange(places)
18         visited = [[start_city] for _ in range(ants)]
19         for ant in range(ants):
20             while len(visited[ant]) != ants:
21                 pk = find_ways(
22                     pheromones, visibility, visited, places,
23                     ant, alpha, beta
24                 )
25                 chosen_place = choose_place(pk)
26                 visited[ant].append(chosen_place - 1)
27
28                 cur_length = get_length(matrix, visited[ant])
29
30                 if cur_length < min_dist:
31                     min_dist = cur_length
32                     best_way = visited[ant]
33
34         pheromones = update_pheromones(
35             matrix, places, visited, pheromones, q, k_evaporation
36         )
37
38     return min_dist, best_way
```

Листинг 3.3 – Функция вычисления массива вероятностей переходов в непосещенные города

```
1 def find_ways(pheromones, visibility, visited, places, ant,
2   alpha, beta):
3
4     for place in range(places):
5         if place not in visited[ant]:
6             ant_place = visited[ant][-1]
7             pk[place] = pow(pheromones[ant_place][place], alpha)
8                 * pow(
9                     visibility[ant_place][place], beta
10                )
11         else:
12             pk[place] = 0
13
14     sum_pk = sum(pk)
15
16     for place in range(places):
17         pk[place] /= sum_pk
18
19     return pk
```

Листинг 3.4 – Функция обновляющая матрицу феромонов

```
1 MIN_PHEROMONE = 0.01
2
3
4 def update_pheromones(matrix, places, visited, pheromones, q,
5     k_evaporation):
6     ants = places
7
8     for i in range(places):
9         for j in range(places):
10             delta = 0
11             for ant in range(ants):
12                 length = get_length(matrix, visited[ant])
13                 delta += q / length
14
15             pheromones[i][j] *= 1 - k_evaporation
16             pheromones[i][j] += delta
17             if pheromones[i][j] < MIN_PHEROMONE:
18                 pheromones[i][j] = MIN_PHEROMONE
19
20     return pheromones
```

Листинг 3.5 – Вспомогательные функции

```
1 def choose_place(pk):
2     possibility = random()
3     choice = 0
4     chosen_place = 0
5     while (choice < possibility) and (chosen_place < len(pk)):
6         choice += pk[chosen_place]
7         chosen_place += 1
8
9     return chosen_place
10
11
12 def get_q(matrix):
13     q = 0
14     count = 0
15     for i in range(len(matrix)):
16         for j in range(len(matrix[i])):
17             if i != j:
18                 q += matrix[i][j]
19                 count += 1
20     return q / count
21
22
23 def get_length(matrix, route):
24     length = 0
25
26     for way_len in range(1, len(route)):
27         length += matrix[route[way_len - 1]][route[way_len]]
28
29     return length
```

Вывод

В данном разделе были разработаны спроектированные алгоритмы решения задачи коммивояжера.

4 Исследовательский раздел

В данном разделе будут приведены: пример работы программы, постановка эксперимента и сравнительный анализ алгоритмов на основе полученных данных.

4.1 Демонстрация работы программы

На рисунке 4.1 представлена демонстрация работы разработанного программного обеспечения, а именно показаны результаты решения задачи ком-

мивояжера для графа, заданного матрицей смежности

$$\begin{pmatrix} 0 & 6 & 1 & 9 & 9 \\ 1 & 0 & 6 & 2 & 7 \\ 1 & 4 & 0 & 6 & 5 \\ 8 & 5 & 5 & 0 & 8 \\ 5 & 1 & 4 & 8 & 0 \end{pmatrix}.$$

- 1 - Решить задачу для введенной матрицы полным перебором.
- 2 - Решить задачу для введенной матрицы муравьиным алгоритмом.
- 3 - Выполнить решение заготовленных матриц.
- 4 - Провести замерный эксперимент.
- 0 - Выйти.

Выберите пункт меню: 1

Введит количество городов: 5

Вводите матрицу

0 6 1 9 9

1 0 6 2 7

1 4 0 6 5

8 5 5 0 8

5 1 4 8 0

Введите начальный город: 0

Кратчайший путь [0, 2, 4, 1, 3] длиной 9

- 1 - Решить задачу для введенной матрицы полным перебором.
- 2 - Решить задачу для введенной матрицы муравьиным алгоритмом.
- 3 - Выполнить решение заготовленных матриц.
- 4 - Провести замерный эксперимент.
- 0 - Выйти.

Выберите пункт меню: 2

Введит количество городов: 5

Вводите матрицу

0 6 1 9 9

1 0 6 2 7

1 4 0 6 5

8 5 5 0 8

5 1 4 8 0

Введите начальный город: 0

Введите количество дней: 10

Кратчайший путь [0, 2, 4, 1, 3] длиной 9

Рисунок 4.1 – Демонстрация работы программы при решении задачи коммивояжера

4.2 Технические характеристики

Технические характеристики устройства, на котором выполнялись замеры по времени, следующие:

- процессор: AMD Ryzen 5 4600H 3 ГГц [5];
- оперативная память: 16 ГБайт;
- операционная система: Windows 10 Pro 64-разрядная система версии 22H2 [6].

При замерах времени ноутбук был включен в сеть электропитания и был нагружен только системными приложениями.

4.3 Время выполнения реализаций алгоритмов

Результаты замеров времени выполнения реализаций алгоритмов решения задачи коммивояжера приведены в таблице 4.1. Замеры времени проводились на полносвязных графах одного размера и усреднялись для каждого набора одинаковых экспериментов. Для реализации муравьиного алгоритма количество дней равно 10.

Таблица 4.1 – Время работы реализации алгоритмов решения задачи коммивояжера (в с)

Количество городов	Полный перебор	Муравьиный
4	$1.563 \cdot 10^{-5}$	$1.422 \cdot 10^{-3}$
5	$4.688 \cdot 10^{-5}$	$3.125 \cdot 10^{-3}$
6	$2.344 \cdot 10^{-4}$	$5.750 \cdot 10^{-3}$
7	$1.594 \cdot 10^{-3}$	$1.005 \cdot 10^{-2}$
8	$1.231 \cdot 10^{-2}$	$1.664 \cdot 10^{-2}$
9	$1.105 \cdot 10^{-1}$	$2.506 \cdot 10^{-2}$

На рисунках 4.2 и 4.3 изображены графики зависимостей времени выполнения реализаций алгоритмов решения задачи коммивояжера от количества городов.

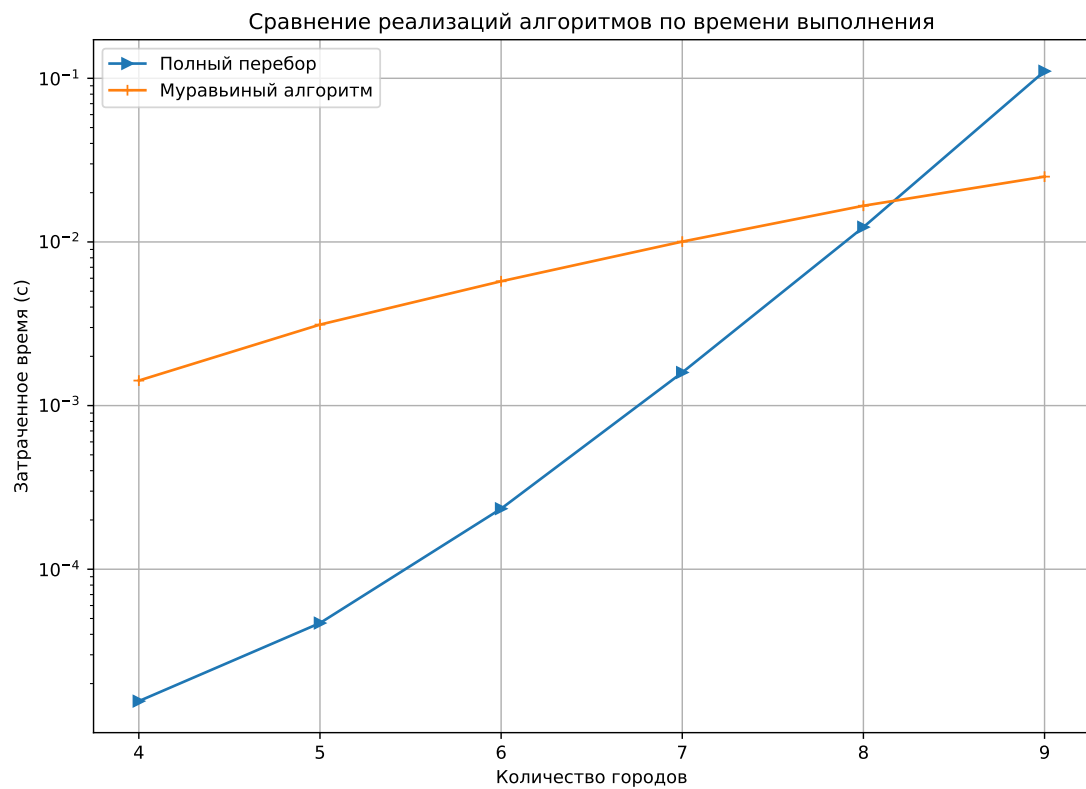


Рисунок 4.2 – Сравнение реализаций алгоритмов по времени выполнения

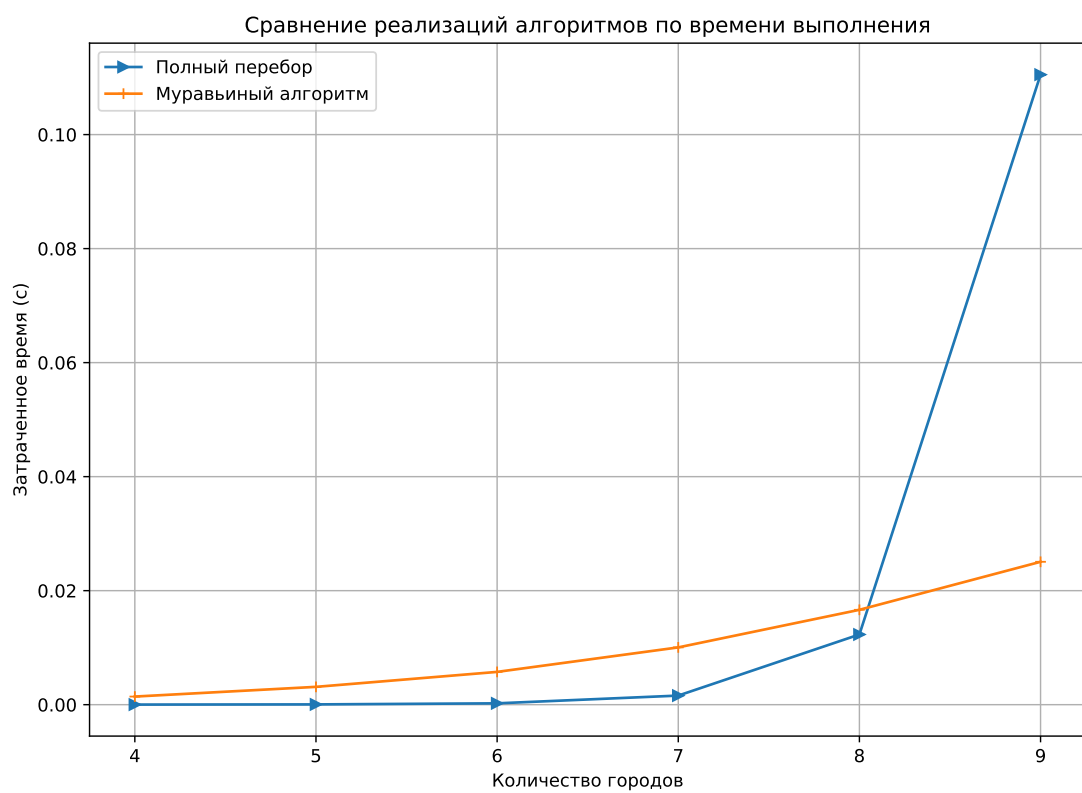


Рисунок 4.3 – Сравнение реализаций алгоритмов по времени выполнения

4.4 Параметризация муравьиного алгоритма

Автоматическая параметризация была проведена для одного класса данных 4.4.1, состоящего из 3 графов. Алгоритм запускался для набора значений $\alpha, \rho \in (0, 1)$ и $t_{max} \in \{5, 25, 50, 100\}$.

Итоговая таблица значений параметризации состоит из следующих колонок:

- α — коэффициент жадности;
- ρ — коэффициент испарения феромона;
- t_{max} — количество дней жизни колонии муравьев;
- *Результат* — максимальная длина пути, полученная муравьиным алгоритмом за 10 запусков;
- *Ошибка* — разность между результатом и эталонным значением.

4.4.1 Класс данных

Класс данных представляет собой набор из 3 орграфов, заданных с помощью матриц смежности (4.1), (4.2), (4.3) размером 10 элементов с равномерным распределением значений весов от 1 до 100.

$$M_1 = \begin{pmatrix} 0 & 34 & 84 & 64 & 37 & 51 & 7 & 55 & 28 & 10 \\ 34 & 0 & 89 & 61 & 26 & 64 & 31 & 82 & 19 & 48 \\ 11 & 16 & 0 & 46 & 2 & 75 & 48 & 65 & 45 & 62 \\ 12 & 30 & 46 & 0 & 71 & 37 & 27 & 70 & 44 & 25 \\ 68 & 20 & 31 & 36 & 0 & 47 & 44 & 72 & 29 & 82 \\ 90 & 78 & 11 & 44 & 91 & 0 & 62 & 43 & 73 & 77 \\ 90 & 33 & 80 & 8 & 98 & 48 & 0 & 99 & 36 & 71 \\ 18 & 16 & 28 & 22 & 99 & 62 & 80 & 0 & 31 & 63 \\ 51 & 77 & 45 & 91 & 45 & 41 & 77 & 40 & 0 & 26 \\ 55 & 67 & 24 & 8 & 57 & 29 & 82 & 50 & 78 & 0 \end{pmatrix} \quad (4.1)$$

$$M_2 = \begin{pmatrix} 0 & 73 & 27 & 98 & 40 & 71 & 11 & 31 & 17 & 14 \\ 5 & 0 & 19 & 99 & 74 & 29 & 43 & 54 & 94 & 58 \\ 78 & 66 & 0 & 17 & 79 & 98 & 74 & 64 & 39 & 45 \\ 4 & 83 & 56 & 0 & 71 & 28 & 32 & 50 & 96 & 11 \\ 36 & 62 & 51 & 35 & 0 & 51 & 62 & 43 & 39 & 94 \\ 6 & 3 & 53 & 23 & 42 & 0 & 10 & 9 & 46 & 10 \\ 25 & 82 & 23 & 50 & 32 & 65 & 0 & 72 & 69 & 65 \\ 53 & 93 & 55 & 62 & 71 & 42 & 79 & 0 & 79 & 78 \\ 65 & 55 & 45 & 17 & 44 & 82 & 68 & 32 & 0 & 48 \\ 93 & 70 & 2 & 53 & 62 & 27 & 76 & 25 & 81 & 0 \end{pmatrix} \quad (4.2)$$

$$M_3 = \begin{pmatrix} 0 & 22 & 97 & 48 & 76 & 64 & 32 & 66 & 63 & 50 \\ 34 & 0 & 69 & 46 & 13 & 63 & 71 & 99 & 48 & 83 \\ 74 & 21 & 0 & 3 & 64 & 49 & 78 & 38 & 61 & 42 \\ 86 & 4 & 40 & 0 & 57 & 16 & 74 & 36 & 99 & 98 \\ 92 & 51 & 98 & 42 & 0 & 38 & 19 & 28 & 19 & 18 \\ 29 & 92 & 47 & 30 & 99 & 0 & 33 & 86 & 51 & 4 \\ 11 & 9 & 94 & 46 & 31 & 5 & 0 & 46 & 55 & 45 \\ 52 & 95 & 13 & 3 & 19 & 25 & 77 & 0 & 75 & 14 \\ 64 & 49 & 25 & 36 & 4 & 96 & 46 & 50 & 0 & 61 \\ 17 & 54 & 68 & 80 & 81 & 84 & 93 & 35 & 94 & 0 \end{pmatrix} \quad (4.3)$$

Результаты параметризации для класса данных содержатся в приложении А.

Вывод

В результате замеров времени выполнения реализаций алгоритмов было выявлено, что реализация алгоритма полного перебора оказалась быстрее реализации муравьиного алгоритма при количестве городов меньше 8, например, при количестве городов 4, реализация алгоритма полного перебора выигрывает реализацию муравьиного алгоритма в 91 раз. Но при количестве городов 9, реализация алгоритма полного перебора оказалась хуже реализации муравьиного алгоритма в 4 раза по времени выполнения. Что соответствует асимптотическим оценкам трудоемкости алгоритмов, а именно алгоритм

полного перебора обладает большей асимптотической оценкой $O(n!)$, чем муравьиный алгоритм $O(Tn^4)$. Т. о. алгоритм полного перебора выгоднее применять при малом количестве городов.

В результате параметризации были подобраны параметры, при которых реализация муравьиного алгоритма показывает наилучшие результаты. Для первого графа такими параметрами являются: $\alpha = 0.1, \rho = \{0.1, 0.3\}, t_{max} = 100$. Для второго: $\alpha = 0.1, \rho = 0.9, t_{max} = 100$. Для третьего:

- $\alpha = 0.1, \rho = 0.1, t_{max} = \{50, 100\}$;
- $\alpha = 0.1, \rho = 0.3, t_{max} = 100$;
- $\alpha = 0.1, \rho = 0.5, t_{max} = \{50, 100\}$;
- $\alpha = 0.1, \rho = 0.7, t_{max} = 100$;
- $\alpha = 0.1, \rho = 0.9, t_{max} = 100$.

Т. о. для реализации муравьиного алгоритма, применяемого к рассмотренному классу данных, рекомендуется использовать параметры: $\alpha = 0.1, \rho = 0.1, t_{max} = 100$.

ЗАКЛЮЧЕНИЕ

В результате исследования времени выполнения реализаций алгоритмов было выявлено, что реализация алгоритма полного перебора оказалась быстрее реализации муравьиного алгоритма при количестве городов меньше 8, например, при количестве городов 4, реализация алгоритма полного перебора выигрывает реализацию муравьиного алгоритма в 91 раз по времени выполнения. Но при количестве городов 9, реализация алгоритма полного перебора оказалась хуже реализации муравьиного алгоритма в 4 раза по времени выполнения. Что соответствует асимптотическим оценкам трудоемкости алгоритмов, а именно алгоритм полного перебора обладает большей асимптотической оценкой $O(n!)$, чем муравьиный алгоритм $O(Tn^4)$.

В ходе параметризации было выявлено, что лучший результат, реализация муравьиного алгоритма, достигает при значениях параметров: $\alpha = 0.1$, $\rho = 0.1$, $t_{max} = 100$.

Цель данной лабораторной работы была достигнута.

СПИСОК ИСПОЛЬЗОВАННЫХ ИСТОЧНИКОВ

1. *Володина Е.В. С. Е.* Практическое применение алгоритма решения задачи коммивояжера // ИВД. — 2015. — № 2.
2. *Colormi A., Dorigo M., Maniezzo V.* Distributed Optimization by Ant Colonies // Proceedings of the First European Conference on Artificial Life. — 1991.
3. The official home of the Python Programming Language [Электронный ресурс]. — Режим доступа: <https://www.python.org/> (дата обращения: 19.09.2023).
4. time — Time access and conversions [Электронный ресурс]. — Режим доступа: <https://docs.python.org/3/library/time.html> (дата обращения: 19.09.2023).
5. Amd [Электронный ресурс]. — Режим доступа: <https://www.amd.com/en.html> (дата обращения: 28.09.2023).
6. Windows 10 Pro 22h2 64-bit [Электронный ресурс]. — Режим доступа: <https://www.microsoft.com/ru-ru/software-download/windows10> (дата обращения: 28.09.2023).

ПРИЛОЖЕНИЕ А

Таблица А.1 – Параметризация для матрицы M_1

α	ρ	t_{max}	Результат	Ошибка
0.1	0.1	5	234	73
0.1	0.1	25	185	24
0.1	0.1	50	189	28
0.1	0.1	100	176	15
0.1	0.3	5	225	64
0.1	0.3	25	200	39
0.1	0.3	50	184	23
0.1	0.3	100	176	15
0.1	0.5	5	231	70
0.1	0.5	25	200	39
0.1	0.5	50	179	18
0.1	0.5	100	188	27
0.1	0.7	5	254	93
0.1	0.7	25	189	28
0.1	0.7	50	184	23
0.1	0.7	100	180	19
0.1	0.9	5	241	80
0.1	0.9	25	180	19
0.1	0.9	50	185	24
0.1	0.9	100	180	19
0.3	0.1	5	238	77
0.3	0.1	25	214	53
0.3	0.1	50	195	34
0.3	0.1	100	184	23
0.3	0.3	5	234	73
0.3	0.3	25	214	53
0.3	0.3	50	200	39
0.3	0.3	100	186	25

0.3	0.5	5	256	95
0.3	0.5	25	204	43
0.3	0.5	50	204	43
0.3	0.5	100	186	25
0.3	0.7	5	260	99
0.3	0.7	25	204	43
0.3	0.7	50	186	25
0.3	0.7	100	188	27
0.3	0.9	5	270	109
0.3	0.9	25	209	48
0.3	0.9	50	195	34
0.3	0.9	100	193	32
0.5	0.1	5	265	104
0.5	0.1	25	228	67
0.5	0.1	50	222	61
0.5	0.1	100	203	42
0.5	0.3	5	296	135
0.5	0.3	25	242	81
0.5	0.3	50	226	65
0.5	0.3	100	195	34
0.5	0.5	5	266	105
0.5	0.5	25	223	62
0.5	0.5	50	233	72
0.5	0.5	100	209	48
0.5	0.7	5	264	103
0.5	0.7	25	223	62
0.5	0.7	50	204	43
0.5	0.7	100	195	34
0.5	0.9	5	271	110
0.5	0.9	25	225	64
0.5	0.9	50	207	46
0.5	0.9	100	197	36
0.7	0.1	5	283	122

0.7	0.1	25	248	87
0.7	0.1	50	232	71
0.7	0.1	100	218	57
0.7	0.3	5	295	134
0.7	0.3	25	248	87
0.7	0.3	50	225	64
0.7	0.3	100	214	53
0.7	0.5	5	296	135
0.7	0.5	25	243	82
0.7	0.5	50	235	74
0.7	0.5	100	223	62
0.7	0.7	5	288	127
0.7	0.7	25	248	87
0.7	0.7	50	253	92
0.7	0.7	100	215	54
0.7	0.9	5	320	159
0.7	0.9	25	244	83
0.7	0.9	50	244	83
0.7	0.9	100	224	63
0.9	0.1	5	334	173
0.9	0.1	25	293	132
0.9	0.1	50	254	93
0.9	0.1	100	242	81
0.9	0.3	5	334	173
0.9	0.3	25	282	121
0.9	0.3	50	256	95
0.9	0.3	100	256	95
0.9	0.5	5	342	181
0.9	0.5	25	267	106
0.9	0.5	50	259	98
0.9	0.5	100	237	76
0.9	0.7	5	327	166
0.9	0.7	25	279	118

0.9	0.7	50	259	98
0.9	0.7	100	240	79
0.9	0.9	5	320	159
0.9	0.9	25	276	115
0.9	0.9	50	254	93
0.9	0.9	100	246	85

Таблица А.2 – Параметризация для матрицы M_2

α	ρ	t_{max}	Результат	Ошибка
0.1	0.1	5	264	65
0.1	0.1	25	248	49
0.1	0.1	50	223	24
0.1	0.1	100	236	37
0.1	0.3	5	280	81
0.1	0.3	25	256	57
0.1	0.3	50	231	32
0.1	0.3	100	221	22
0.1	0.5	5	250	51
0.1	0.5	25	233	34
0.1	0.5	50	236	37
0.1	0.5	100	221	22
0.1	0.7	5	303	104
0.1	0.7	25	237	38
0.1	0.7	50	227	28
0.1	0.7	100	234	35
0.1	0.9	5	278	79
0.1	0.9	25	248	49
0.1	0.9	50	226	27
0.1	0.9	100	220	21
0.3	0.1	5	282	83
0.3	0.1	25	261	62

0.3	0.1	50	236	37
0.3	0.1	100	231	32
0.3	0.3	5	294	95
0.3	0.3	25	258	59
0.3	0.3	50	248	49
0.3	0.3	100	240	41
0.3	0.5	5	285	86
0.3	0.5	25	267	68
0.3	0.5	50	242	43
0.3	0.5	100	237	38
0.3	0.7	5	286	87
0.3	0.7	25	261	62
0.3	0.7	50	252	53
0.3	0.7	100	225	26
0.3	0.9	5	292	93
0.3	0.9	25	258	59
0.3	0.9	50	251	52
0.3	0.9	100	228	29
0.5	0.1	5	318	119
0.5	0.1	25	268	69
0.5	0.1	50	259	60
0.5	0.1	100	240	41
0.5	0.3	5	317	118
0.5	0.3	25	260	61
0.5	0.3	50	262	63
0.5	0.3	100	239	40
0.5	0.5	5	325	126
0.5	0.5	25	272	73
0.5	0.5	50	263	64
0.5	0.5	100	242	43
0.5	0.7	5	306	107
0.5	0.7	25	277	78
0.5	0.7	50	240	41

0.5	0.7	100	231	32
0.5	0.9	5	300	101
0.5	0.9	25	259	60
0.5	0.9	50	264	65
0.5	0.9	100	251	52
0.7	0.1	5	336	137
0.7	0.1	25	284	85
0.7	0.1	50	273	74
0.7	0.1	100	242	43
0.7	0.3	5	309	110
0.7	0.3	25	297	98
0.7	0.3	50	270	71
0.7	0.3	100	255	56
0.7	0.5	5	328	129
0.7	0.5	25	304	105
0.7	0.5	50	269	70
0.7	0.5	100	257	58
0.7	0.7	5	330	131
0.7	0.7	25	295	96
0.7	0.7	50	263	64
0.7	0.7	100	277	78
0.7	0.9	5	349	150
0.7	0.9	25	280	81
0.7	0.9	50	279	80
0.7	0.9	100	249	50
0.9	0.1	5	373	174
0.9	0.1	25	305	106
0.9	0.1	50	282	83
0.9	0.1	100	270	71
0.9	0.3	5	369	170
0.9	0.3	25	319	120
0.9	0.3	50	299	100
0.9	0.3	100	279	80

0.9	0.5	5	346	147
0.9	0.5	25	307	108
0.9	0.5	50	284	85
0.9	0.5	100	286	87
0.9	0.7	5	363	164
0.9	0.7	25	308	109
0.9	0.7	50	284	85
0.9	0.7	100	284	85
0.9	0.9	5	331	132
0.9	0.9	25	307	108
0.9	0.9	50	297	98
0.9	0.9	100	273	74

Таблица А.3 – Параметризация для матрицы M_3

α	ρ	t_{max}	Результат	Ошибка
0.1	0.1	5	223	95
0.1	0.1	25	186	58
0.1	0.1	50	140	12
0.1	0.1	100	140	12
0.1	0.3	5	233	105
0.1	0.3	25	175	47
0.1	0.3	50	156	28
0.1	0.3	100	140	12
0.1	0.5	5	237	109
0.1	0.5	25	171	43
0.1	0.5	50	140	12
0.1	0.5	100	140	12
0.1	0.7	5	233	105
0.1	0.7	25	171	43
0.1	0.7	50	180	52

0.1	0.7	100	140	12
0.1	0.9	5	220	92
0.1	0.9	25	192	64
0.1	0.9	50	159	31
0.1	0.9	100	140	12
0.3	0.1	5	233	105
0.3	0.1	25	202	74
0.3	0.1	50	186	58
0.3	0.1	100	166	38
0.3	0.3	5	247	119
0.3	0.3	25	196	68
0.3	0.3	50	171	43
0.3	0.3	100	173	45
0.3	0.5	5	255	127
0.3	0.5	25	210	82
0.3	0.5	50	172	44
0.3	0.5	100	156	28
0.3	0.7	5	240	112
0.3	0.7	25	193	65
0.3	0.7	50	186	58
0.3	0.7	100	174	46
0.3	0.9	5	283	155
0.3	0.9	25	222	94
0.3	0.9	50	193	65
0.3	0.9	100	150	22
0.5	0.1	5	289	161
0.5	0.1	25	228	100
0.5	0.1	50	213	85
0.5	0.1	100	205	77
0.5	0.3	5	263	135
0.5	0.3	25	225	97
0.5	0.3	50	209	81
0.5	0.3	100	180	52

0.5	0.5	5	285	157
0.5	0.5	25	237	109
0.5	0.5	50	206	78
0.5	0.5	100	197	69
0.5	0.7	5	288	160
0.5	0.7	25	218	90
0.5	0.7	50	213	85
0.5	0.7	100	190	62
0.5	0.9	5	271	143
0.5	0.9	25	207	79
0.5	0.9	50	208	80
0.5	0.9	100	186	58
0.7	0.1	5	297	169
0.7	0.1	25	232	104
0.7	0.1	50	212	84
0.7	0.1	100	209	81
0.7	0.3	5	273	145
0.7	0.3	25	243	115
0.7	0.3	50	238	110
0.7	0.3	100	217	89
0.7	0.5	5	311	183
0.7	0.5	25	273	145
0.7	0.5	50	230	102
0.7	0.5	100	215	87
0.7	0.7	5	285	157
0.7	0.7	25	244	116
0.7	0.7	50	211	83
0.7	0.7	100	214	86
0.7	0.9	5	291	163
0.7	0.9	25	231	103
0.7	0.9	50	233	105
0.7	0.9	100	194	66
0.9	0.1	5	320	192

0.9	0.1	25	280	152
0.9	0.1	50	259	131
0.9	0.1	100	240	112
0.9	0.3	5	321	193
0.9	0.3	25	272	144
0.9	0.3	50	253	125
0.9	0.3	100	242	114
0.9	0.5	5	325	197
0.9	0.5	25	278	150
0.9	0.5	50	237	109
0.9	0.5	100	227	99
0.9	0.7	5	322	194
0.9	0.7	25	249	121
0.9	0.7	50	242	114
0.9	0.7	100	234	106
0.9	0.9	5	320	192
0.9	0.9	25	257	129
0.9	0.9	50	242	114
0.9	0.9	100	236	108